

Seminar über
„Grundlegende Experimente der
Elementarteilchenphysik“
WS 2002/2003

Vortragsthema: Nachweis der Quarks

Von: Gordon Kaußen

Betreuer: Prof. Dr. G. Flügge

14.01.2003

Einführung

- In der Teilchenphysik werden typischerweise *Streuexperimente* durchgeführt.
- Mit Hilfe geeigneter Detektoren werden dabei die Eigenschaften der Teilchen wie Energie, Impuls oder Ladung analysiert.
- Aufgrund der hohen Teilchenenergien können sehr kleine Strukturen aufgelöst werden.
- In diesem Vortrag werden die Konstituenten der Nukleonen, die sogenannten *Partonen*, genauer betrachtet.
- Hierbei spielen die *Tief-inelastische Elektron-Proton-Streuung* und die entsprechenden Experimente am *SLAC* und bei *HERA* eine wichtige Rolle.

Wirkungsquerschnitte

Eine wichtige Messgröße bei Streuexperimenten ist der Wirkungsquerschnitt:

$$d\sigma = \frac{\text{Fluß der unter dem Winkel } \theta \text{ in den Raumwinkel } d\Omega \text{ gestreuten Teilchen}}{\text{einfallender Teilchenfluß}}$$

Je nach betrachteten Teilchen nimmt er unterschiedliche Formen an:

1. Projektil und Target sind punktförmig, haben keinen Spin und das Target ruht \rightarrow *Rutherford-Streuformel*:

$$\left(\frac{d\sigma}{d\Omega}\right)_{Ruth} = \frac{\alpha^2}{4p_0^2 \sin^4 \frac{\theta}{2}}$$

2. Das Elektron ist ein Spin $\frac{1}{2}$ Teilchen und das Proton besitzt eine endliche Masse M \rightarrow *Mott-Gleichung*:

$$\left(\frac{d\sigma}{d\Omega}\right)_{Mott} = \frac{\alpha^2}{4p_0^2 \sin^4 \frac{\theta}{2}} \cdot \frac{\cos^2 \frac{\theta}{2}}{1 + (2p_0/M) \sin^2 \frac{\theta}{2}} = \left(\frac{d\sigma}{d\Omega}\right)_{Ruth} \cdot \frac{\cos^2 \frac{\theta}{2}}{1 + (2p_0/M) \sin^2 \frac{\theta}{2}}$$

3. Das Elektron hat einen Spin und das Proton hat einen Spin

→ *Dirac-Wirkungsquerschnitt:*

$$\left(\frac{d\sigma}{d\Omega}\right)_{Dirac} = \left(\frac{d\sigma}{d\Omega}\right)_{Ruth} \left(\cos^2 \frac{\theta}{2} + \frac{q^2}{2M^2} \sin^2 \frac{\theta}{2} \right)$$

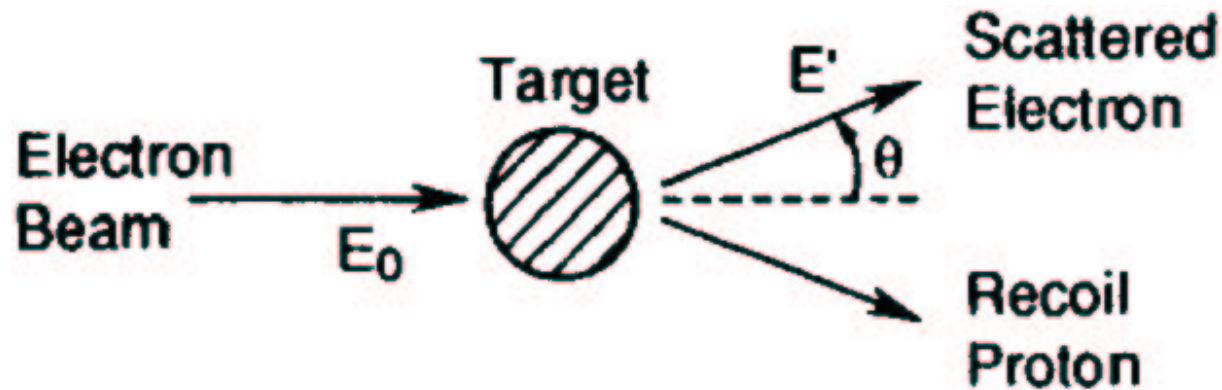
wobei hier $\left(\frac{d\sigma}{d\Omega}\right)_{Ruth} = \frac{\alpha^2}{\left(4p_0^2 \sin^4 \frac{\theta}{2}\right) \left[1 + (2p_0/M) \sin^2 \frac{\theta}{2}\right]}$ ist.

4. Das Proton ist kein punktförmiges Teilchen und hat ein anomales magnetisches Moment → *Rosenbluth-Gleichung:*

$$\left(\frac{d\sigma}{d\Omega}\right)_{Rosen} = \left(\frac{d\sigma}{d\Omega}\right)_{Mott} \left\{ \left[\frac{G_E^2 + (q^2/4M^2)G_M^2}{1 + (q^2/4M^2)} \right] + \frac{q^2}{4M^2} \cdot 2G_M^2 \tan^2 \frac{\theta}{2} \right\}$$

Die Struktur des Protons wird jetzt durch die beiden Formfaktoren G_E und G_M beschrieben.

Elastische e⁻-p-Streuung



Der Viererimpulsübertrag q vom Elektron auf das Proton ist klein!

Seien p_1^e und p_1^p die Viererimpulse von Elektron bzw. Proton vor der Streuung und p_2^e bzw. p_2^p die Viererimpulse nach der Streuung. Dann ergibt sich für den Viererimpulsübertrag q :

$$\begin{aligned} q^2 &= (p_1^e - p_2^e)^2 = (p_2^p - p_1^p)^2 = \left(\vec{p}_2^p - \vec{p}_1^p \right)^2 - (E_2^p - E_1^p)^2 \\ &= \left(\vec{p}_2^p - 0 \right)^2 - (E_2^p - M)^2 \end{aligned}$$

Mit dem Energieübertrag $\nu = E_2^p - E_1^p = E_2^p - M$ vom Elektron auf das Proton und der relativistischen Energie-Impuls-Beziehung

$M^2 = E_2^{p^2} - \vec{p}_2^2$ folgt schließlich:

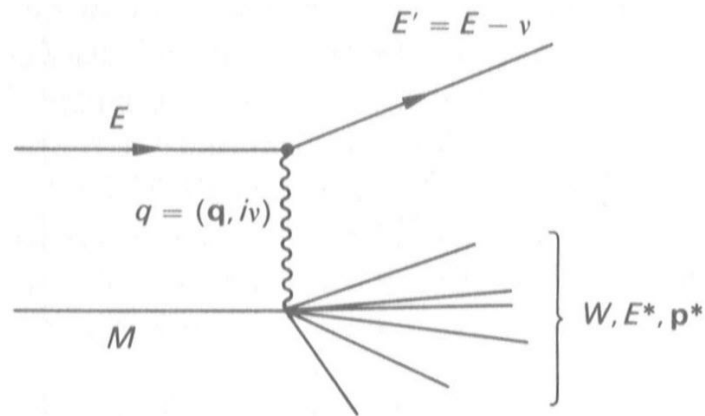
$$\begin{aligned} q^2 &= E_2^{p^2} - M^2 - E_2^{p^2} + 2E_2^p M - M^2 = 2E_2^p M - 2M^2 \\ &= 2(\nu + M)M - 2M^2 = 2M\nu + 2M^2 - 2M^2 = 2M\nu \end{aligned}$$

$$\Rightarrow q^2 = 2M\nu \quad \text{bei elastischer Streuung!}$$

Anmerkung: Allgemein gilt für q^2

$$\begin{aligned} q^2 &= (p_1^e - p_2^e)^2 = (\vec{p}_1^e - \vec{p}_2^e)^2 - (E_1^e - E_2^e)^2 = -m^2 - 2\vec{p}_1^e \vec{p}_2^e + 2E_1^e E_2^e - m^2 \\ &= -2m^2 - 2\left|\vec{p}_1^e\right| \cdot \left|\vec{p}_2^e\right| \cdot \cos\theta + 2E_1^e E_2^e \approx -2E_1^e E_2^e \cos\theta + 2E_1^e E_2^e \\ &= 2E_1^e E_2^e (1 - \cos\theta) = 4E_1^e E_2^e \sin^2 \frac{\theta}{2} \end{aligned}$$

Tief-inelastische e⁻-p-Streuung



Die Energie des einfallenden Elektrons und damit auch der Viererimpulsübertrag sind groß!

Sei nun \vec{p}^* der Dreierimpuls, E^* die Energie und W die invariante Masse des hadronischen Endzustandes. Dann ergibt sich für den Viererimpulsübertrag q :

$$q^2 = \left(\vec{p}^* - \vec{p}_1^p \right)^2 - \left(E^* - E_1^p \right)^2 = \left(\vec{p}^* - 0 \right)^2 - \left(E^* - M \right)^2$$

Mit $v = E^* - M$ und $W^2 = E^{*2} - p^{*2}$ erhält man sofort:

$$\begin{aligned} q^2 &= E^{*2} - W^2 - E^{*2} + 2E^*M - M^2 = 2E^*M - W^2 - M^2 \\ &= 2(v + M)M - W^2 - M^2 = 2Mv - W^2 + M^2 \end{aligned}$$

$$\Rightarrow q^2 = 2Mv - W^2 + M^2 \quad \text{bei inelastischer Streuung!}$$

Die Gleichungen zur elastischen bzw. inelastischen Streuung können im Rosenbluth-Diagramm dargestellt werden:

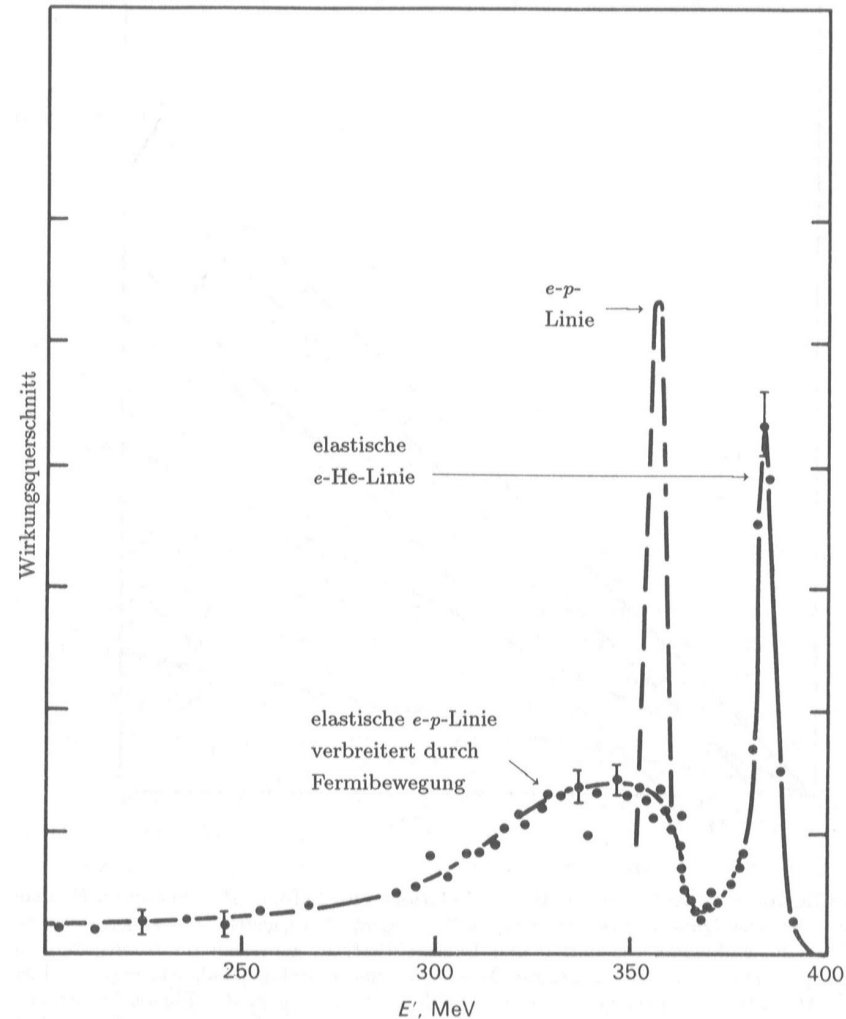
Vergleich von e^-p - und e^- -Kern-Streuung

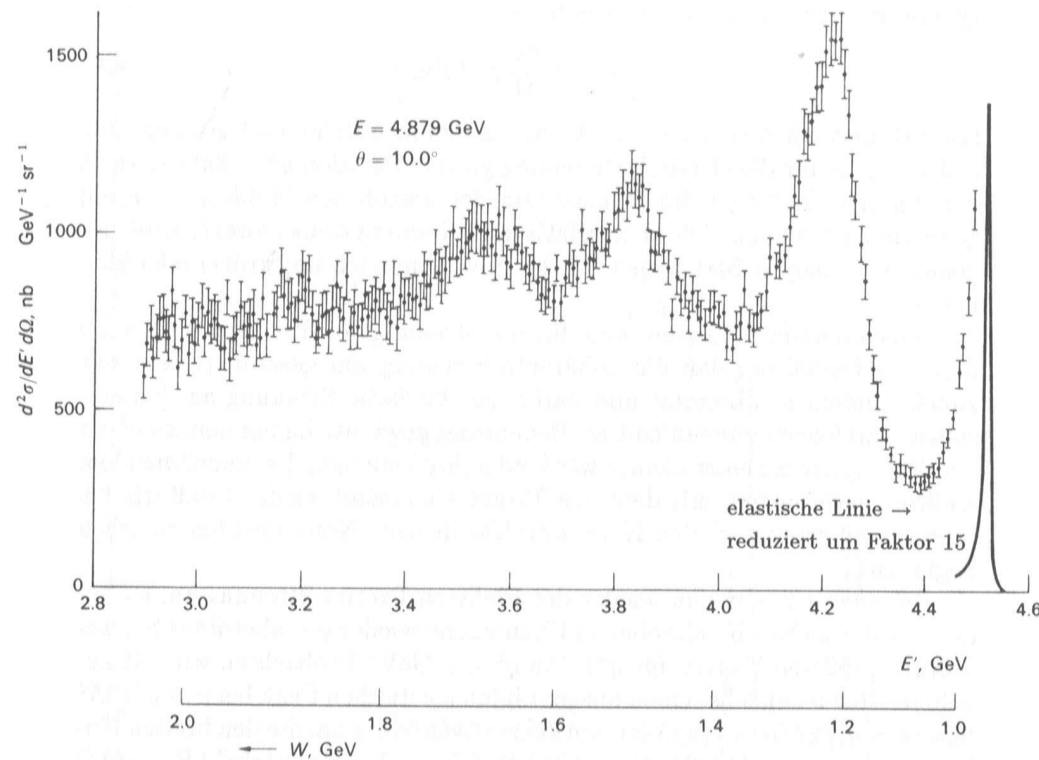
- Für kleine Viererimpulsüberträge q beobachtet man eine starke Überhöhung des Wirkungsquerschnittes bei

$$E' = E - \nu = E - \frac{q^2}{2M_{\text{Kern}}}$$

- Bei größeren Werten des Energieübertrags ν , also bei kleinerem E' , findet man ein breites Maximum in der Region $\nu \cong \frac{q^2}{2M_{\text{Nukleon}}}$

- Für freie Nukleonen würde man eine scharfe Spitze bei $\nu = \frac{q^2}{2M_{\text{Nukleon}}}$ sehen





- Bei kleinen q^2 (großes E') beobachtet man einen elastischen Peak bei $\nu = \frac{q^2}{2M}$
- Mit zunehmendem q^2 erscheinen weitere Maxima, die den Protonresonanzen entsprechen
- Steigert man q^2 weiter, so erhält man schließlich ein Kontinuum, was ein Hinweis für die Streuung an Konstituenten des Protons ist

Zur Erinnerung

Formfaktor $F=F(q^2)$ ist Fouriertransformierte der Ladungsverteilung $f(\mathbf{r})$:

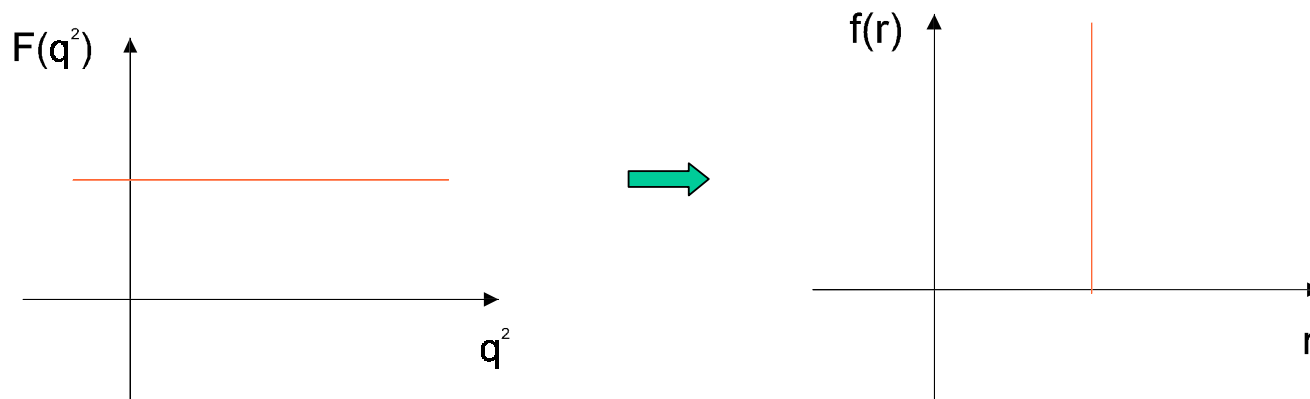
$$F(q^2) = \int e^{\frac{i}{\hbar} \vec{q} \vec{r}} \cdot f(\vec{r}) d^3 \vec{r}$$

Sonderfall einer *punktförmigen* Ladungsverteilung $f(\vec{r}) = \delta(\vec{r})$

→ Fourier-Transformierte: $F(q^2) = \int e^{\frac{i}{\hbar} \vec{q} \vec{r}} \cdot \delta(\vec{r}) d^3 \vec{r} = 1 = \text{const.}$

Ladungsverteilung ergibt sich durch Rücktransformation aus Formfaktor:

$$f(\vec{r}) = \frac{1}{(2\pi)^3} \int e^{-\frac{i}{\hbar} \vec{q} \vec{r}} \cdot F(q^2) d^3 \vec{q}$$



Das Partonmodell

Der Wirkungsquerschnitt für die Tief-inelastische Elektron-Proton-Streuung kann als Funktion von q^2 und ν geschrieben werden als:

$$\frac{d^2\sigma}{dq^2 d\nu} = \frac{4\pi\alpha^2}{q^4} \frac{E'}{EM} \left[W_2(q^2, \nu) \cos^2 \frac{\theta}{2} + 2W_1(q^2, \nu) \sin^2 \frac{\theta}{2} \right]$$

Nun werden folgende Größen eingeführt:

$$F_1(q^2, \nu) = W_1(q^2, \nu) \quad , \quad F_2(q^2, \nu) = \frac{\nu W_2(q^2, \nu)}{M} \quad ,$$

$$y = \frac{\nu}{E} \quad , \quad \frac{E'}{E} = 1 - y \quad , \quad q^2 = 2MExy$$

Damit wird die obere Gleichung zu:

$$\frac{d^2\sigma}{dq^2 d\nu} = \frac{4\pi\alpha^2}{q^4} \frac{E'}{E\nu} \left[F_2(q^2, \nu) \cos^2 \frac{\theta}{2} + \frac{2\nu}{M} F_1(q^2, \nu) \sin^2 \frac{\theta}{2} \right]$$

Mit den Beziehungen $\cos^2 \frac{\theta}{2} = 1 - \frac{q^2}{4EE'} \cong 1$ und $\frac{d\nu}{\nu} = \frac{dx}{x}$ erhält man schließlich:

$$\frac{d^2\sigma}{dq^2 dx} = \frac{4\pi\alpha^2}{q^4} \left[(1-y) \frac{F_2(x, q^2)}{x} + \frac{y^2}{2} \frac{2xF_1(x, q^2)}{x} \right]$$

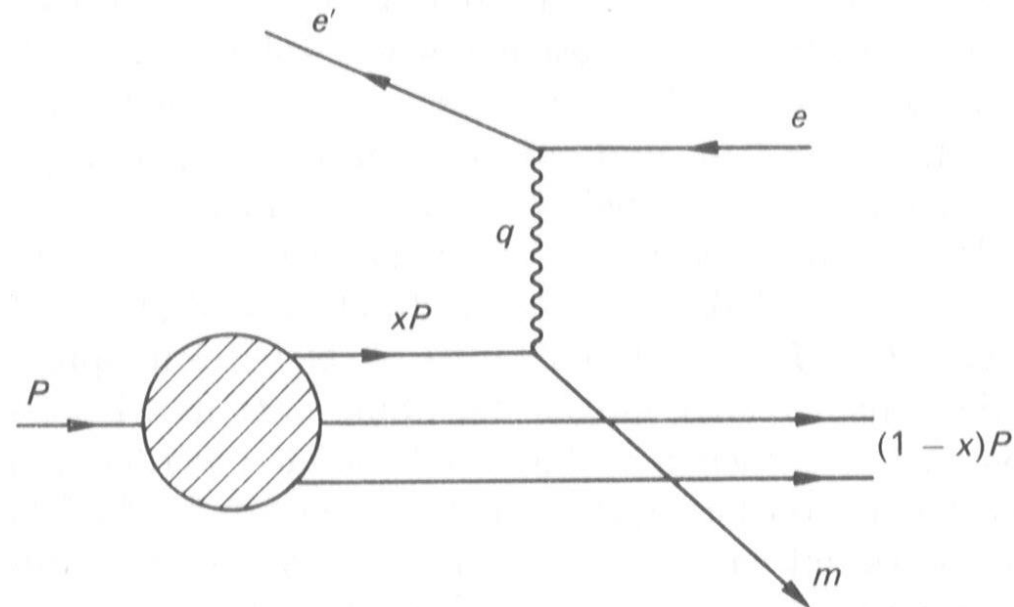
Nach der *Bjorkenschen Hypothese der Skaleninvarianz* gilt nun:

Wenn eine Funktion $F(q^2, \nu)$ im Grenzfall $q^2 \rightarrow \infty$ und $\nu \rightarrow \infty$ endlich bleibt, kann sie nur von dem dimensionslosen Verhältnis $x = \frac{q^2}{2M\nu}$ der beiden Größen abhängen.

Anders ausgedrückt: Wenn die Elektron-Parton-Streuung eine punktförmige Wechselwirkung ist, dann können F_1 und F_2 nicht von q^2 abhängen, sondern sind lediglich Funktionen von x .

Wie wir später sehen werden, wurde diese Vorhersage in SLAC-Experimenten bestätigt.

Eine physikalische Erklärung der Skaleninvarianz wird durch Feynmans *Parton-Modell* gegeben:



Im „infinite momentum frame“ gilt: $P=(\mathbf{p},iE)=(p,0,0,ip)$

Für den Viererimpuls eines Partons der Masse m , das an einem Elektron gestreut worden ist, folgt:

$$\begin{aligned} (xP + q)^2 &= -m^2 \cong 0 \\ \Rightarrow x^2 P^2 + q^2 + 2xPq &\cong 0 \end{aligned}$$

Für $x^2 P^2 = -x^2 M^2 \ll q^2$ erhält man:

$$x = \frac{-q^2}{2Pq} = \frac{q^2}{2Mv}$$

Das invariante Vierer-Skalarprodukt $\underline{P}q$ wurde dabei im Laborsystem ausgewertet, d.h. $P=(0,0,0,iM)$ und $q = (q, i v)$.

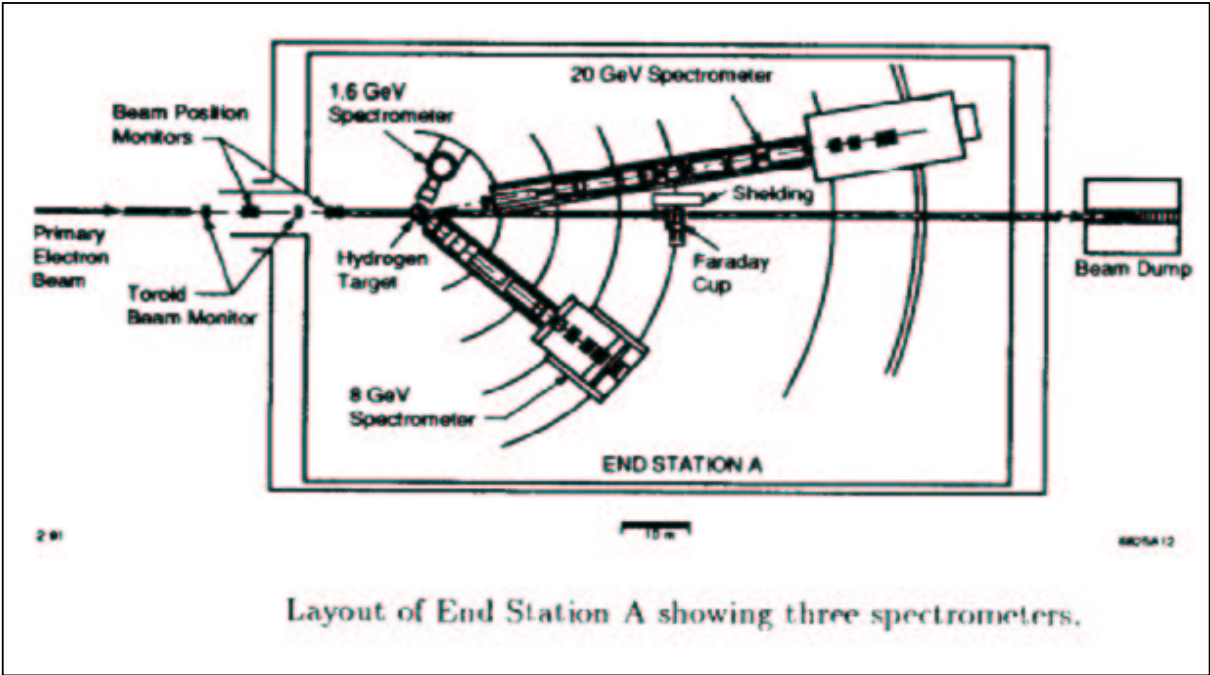
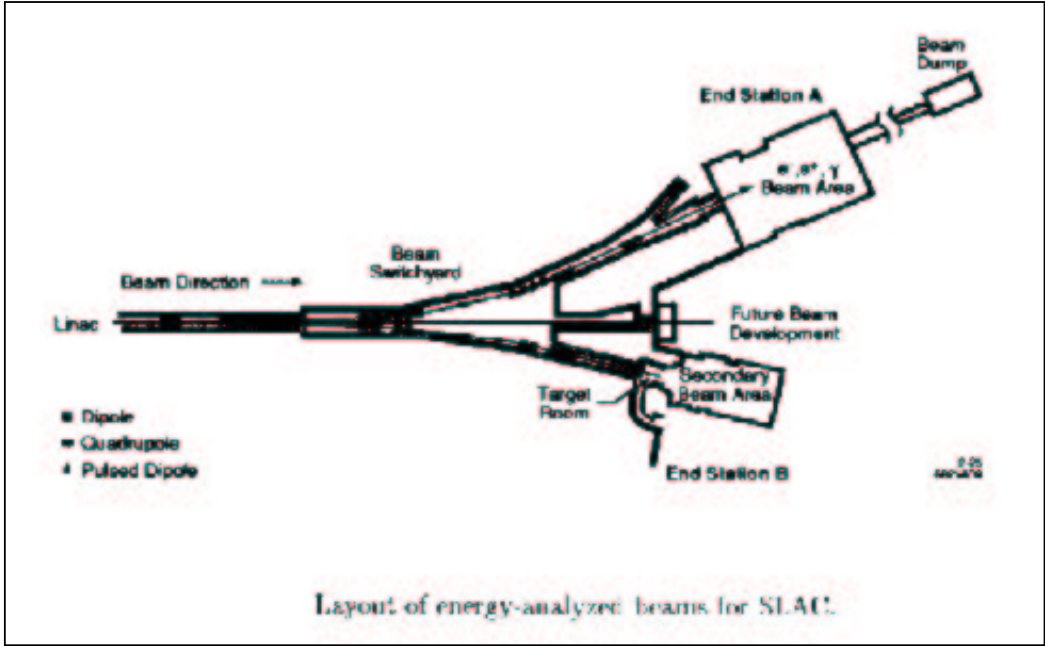
Für ein hypothetisches im Laborsystem ruhendes Parton der Masse m wäre bei elastischer Streuung $q^2 = 2mv$, so daß sich im Grenzfall $q^2 \gg M^2$ für x ergibt:

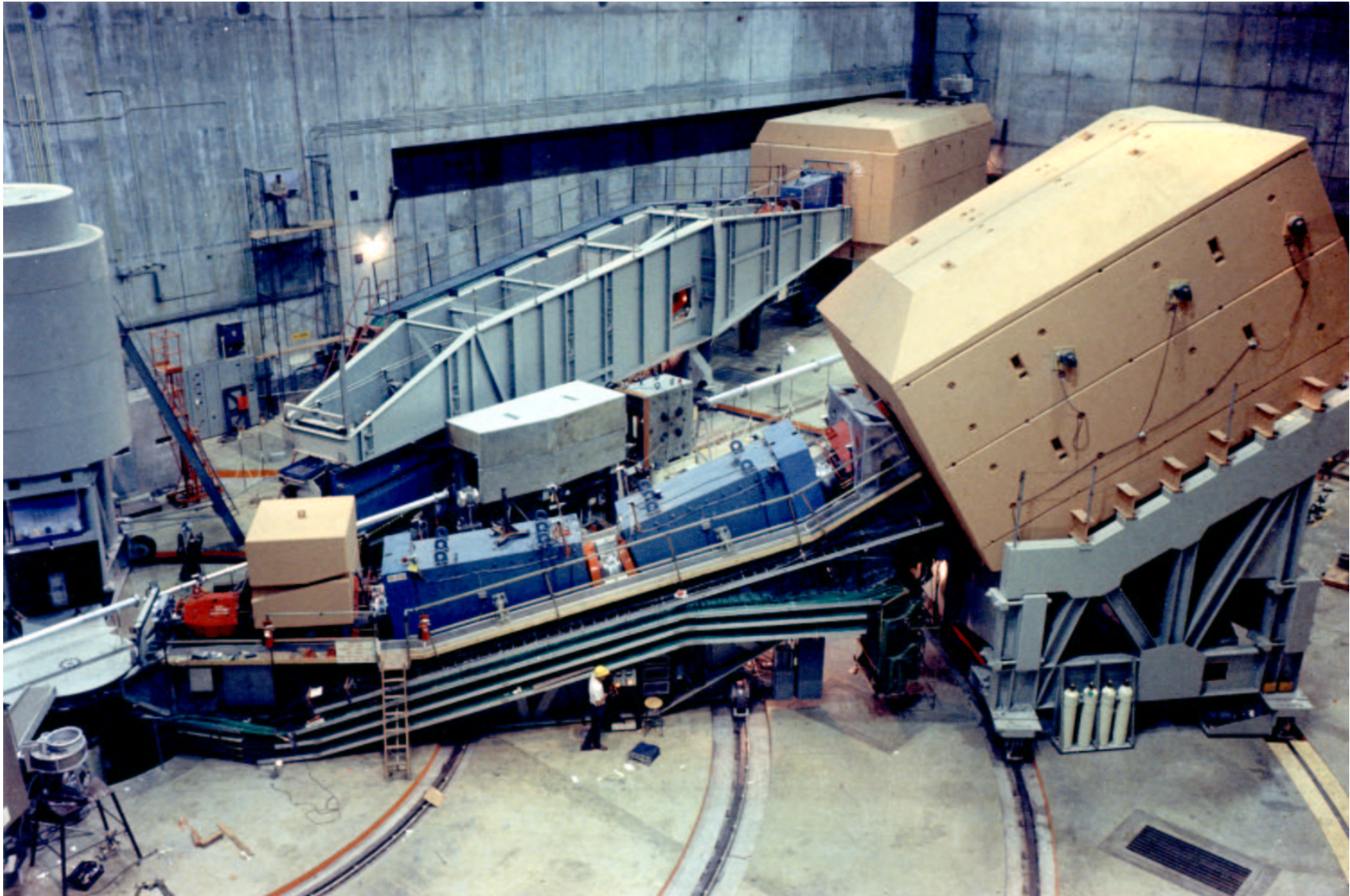
$$x = \frac{q^2}{2Mv} = \frac{2mv}{2Mv} = \frac{m}{M}$$

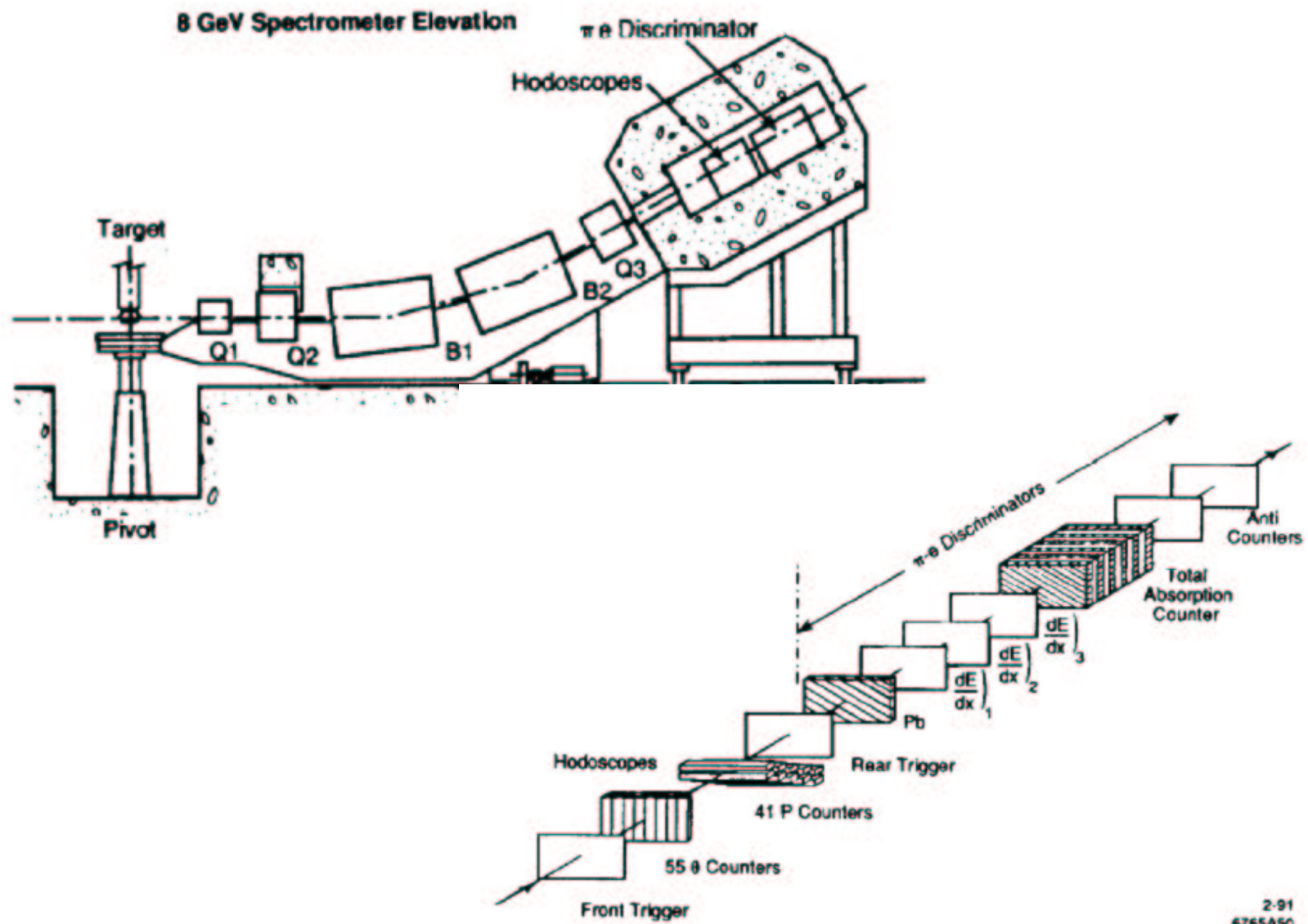
Im Laborsystem gibt x also den Bruchteil der Protonenmasse M an, der effektiv von einem Parton getragen wird.

Das SLAC-Experiment



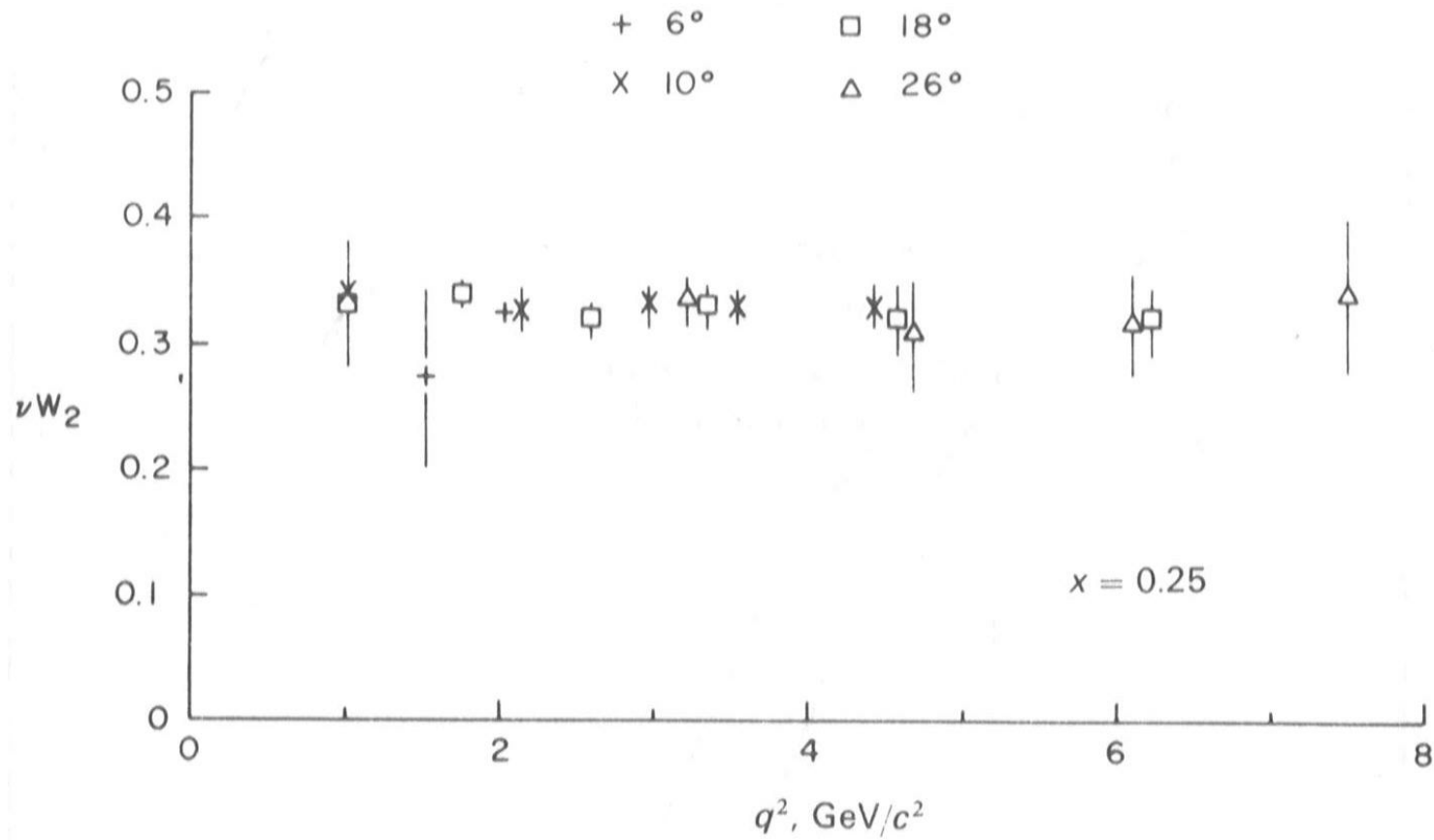






Counter system for the 8 GeV spectrometer.

Ergebnis



Spin der Partonen

Um den Spin der Partonen zu bestimmen, wird der Wirkungsquerschnitt für die Tief-inelastische Elektron-Proton-Streuung mit dem Dirac-Wirkungsquerschnitt für die Streuung punktförmiger Spin-1/2 Teilchen der Ladung ze und der Masse m verglichen.

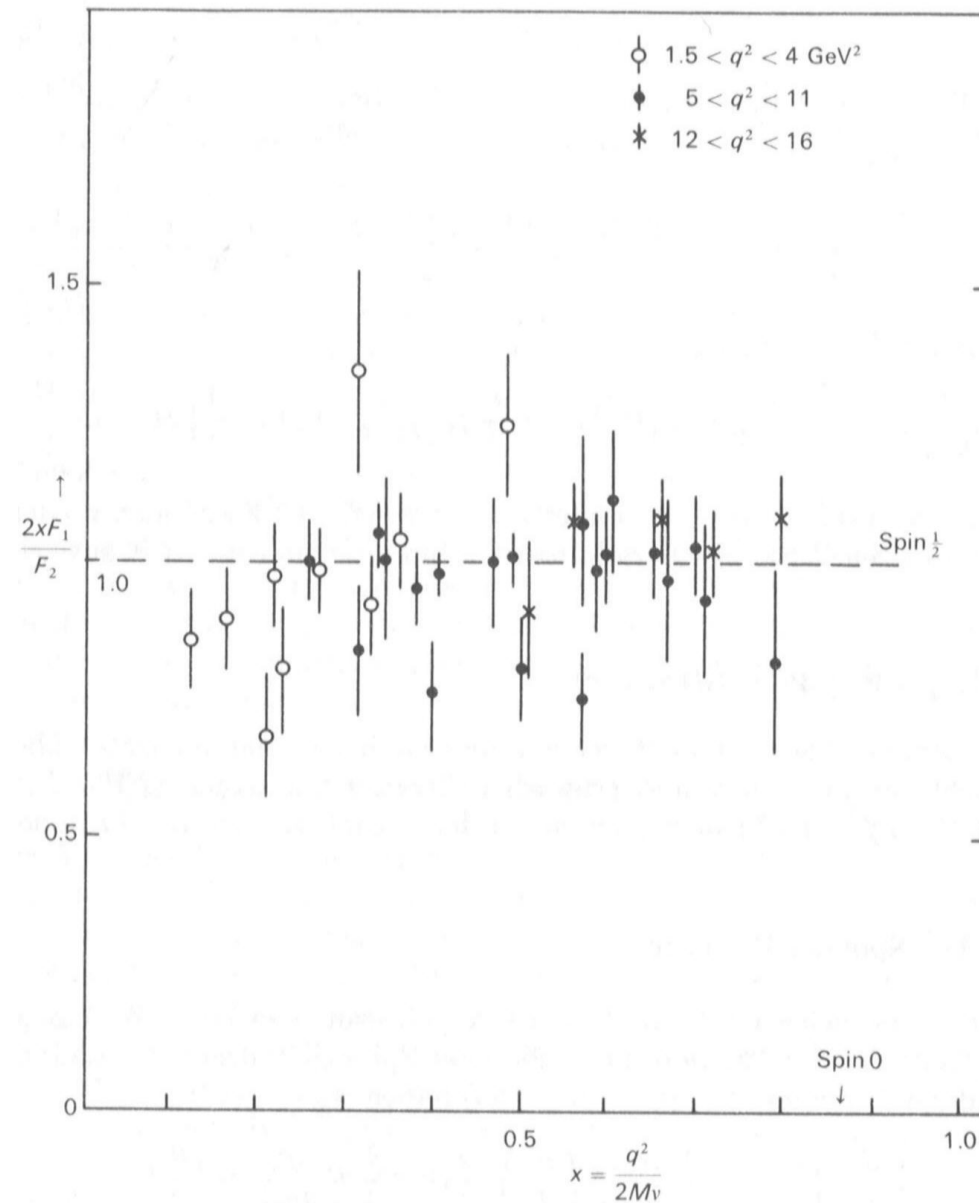
- Dirac:
$$\left(\frac{d\sigma}{dq^2}\right)_{Dirac} = \frac{4\pi\alpha^2 z^2}{q^4} \left(\frac{E'}{E}\right)^2 \left(\cos^2 \frac{\theta}{2} + \frac{q^2}{2m^2} \sin^2 \frac{\theta}{2}\right)$$

- Inelastisch:
$$\left(\frac{d^2\sigma}{dq^2 dx}\right)_{inelastisch} = \frac{4\pi\alpha^2}{q^4} \frac{E'}{E} \left(F_2(x)\cos^2 \frac{\theta}{2} + \frac{q^2}{2M^2 x^2} 2xF_1(x)\sin^2 \frac{\theta}{2}\right) \frac{1}{x}$$

Vergleich der Koeffizienten von $\cos^2(\theta/2)$ und $\sin^2(\theta/2)$ liefert unter Verwendung von $m^2 = x^2 M^2$ die sogenannte *Callan-Gross-Relation*:

$$\boxed{\frac{2xF_1(x)}{F_2(x)} = 1}$$

Dieses vorhergesagte Verhältnis wurde in Experimenten bestätigt:



Ladung der Partonen

Betrachtet man die Gleichung von Seite 14 für den Grenzfall $y \rightarrow 0$, das bedeutet für den Streuwinkel $\theta \rightarrow 0$, so erhält man:

$$\frac{d\sigma}{dq^2} = \frac{4\pi\alpha^2}{q^4} \int \frac{F_2^{eN}(x) dx}{x}$$

Wenn das Proton aus u-, d- und s-Quarks besteht, ergibt sich für die Strukturfunktion F_2 der Elektron-Proton-Streuung:

$$F_2^{ep}(x) = \sum_i e_i^2 x f_i(x) = x \left\{ \frac{4}{9} [u(x) + \bar{u}(x)] + \frac{1}{9} [d(x) + \bar{d}(x) + s(x) + \bar{s}(x)] \right\}$$

Die Strukturfunktion für die Elektron-Neutron-Streuung erhält man aus der obigen Gleichung, indem man die Symbole u durch d und \bar{u} durch \bar{d} ersetzt:

$$F_2^{en}(x) = x \left\{ \frac{4}{9} [d(x) + \bar{d}(x)] + \frac{1}{9} [u(x) + \bar{u}(x) + s(x) + \bar{s}(x)] \right\}$$

Allgemein folgt für die Strukturfunktion der Elektron-Nukleon-Streuung aus dem Mittelwert von F_2^{ep} und F_2^{en} :

$$F_2^{eN}(x) = x \left\{ \frac{5}{18} [u(x) + \bar{u}(x) + d(x) + \bar{d}(x)] + \frac{1}{9} [s(x) + \bar{s}(x)] \right\}$$

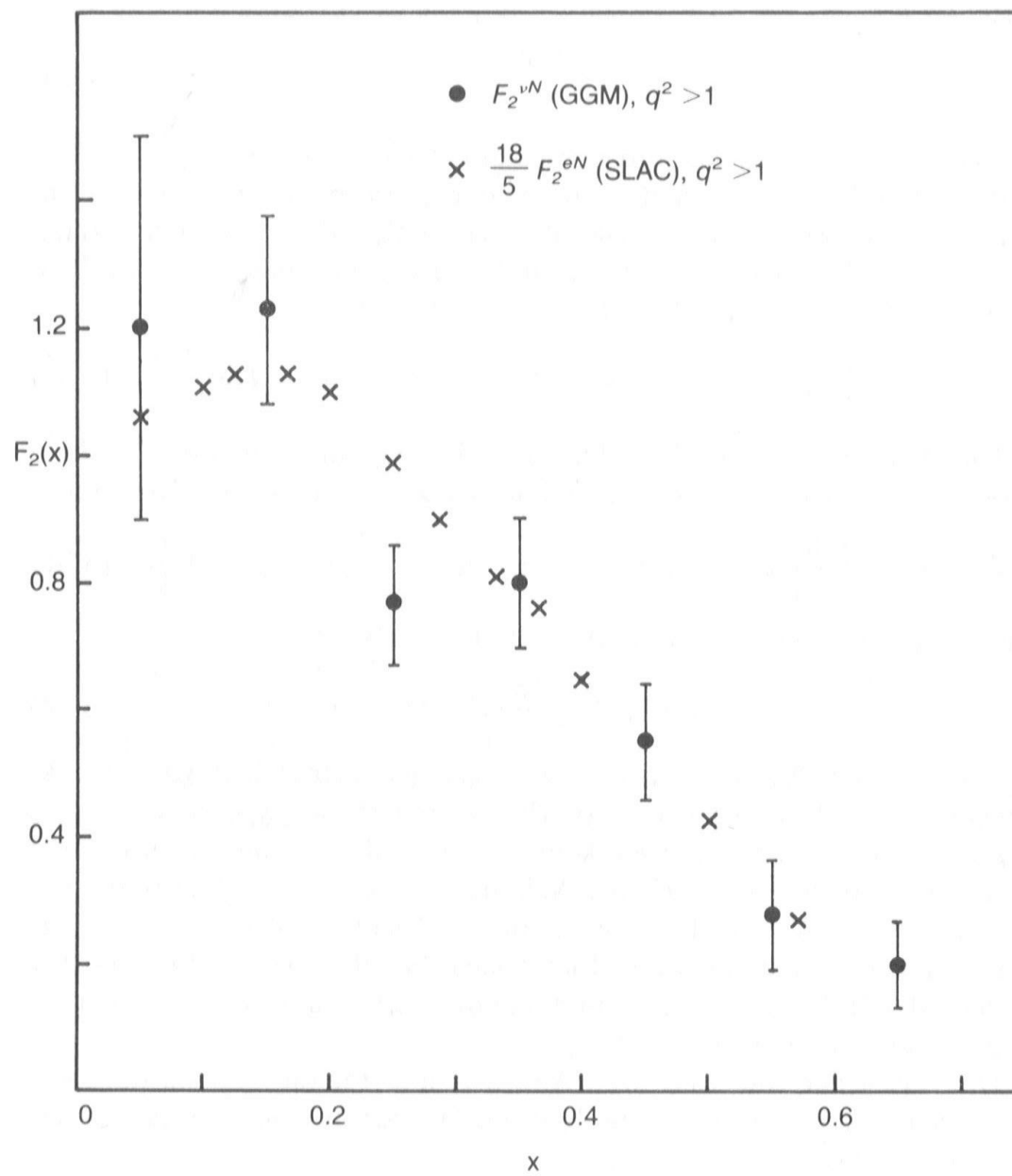
Aus ähnlichen Überlegungen erhält man für die Strukturfunktion der Neutrino-Nukleon-Streuung:

$$F_2^{\nu N}(x) = x [u(x) + \bar{u}(x) + d(x) + \bar{d}(x)]$$

Durch Einsetzen der unteren in die obere Gleichung findet man schließlich die Beziehung:

$$F_2^{\nu N}(x) \leq \frac{18}{5} F_2^{eN}(x)$$

Messungen der Strukturfunktionen $F_2^{\nu N}$ und $\frac{18}{5} F_2^{eN}$ lieferten die folgenden Ergebnisse:



Man erwartet nun notwendigerweise, daß die Summe der Impulsanteile über *alle* Konstituenten gleich Eins ist, d.h.

$$\frac{18}{5} \int F_2^{eN}(x) dx = \int F_2^{vN}(x) dx = \int [u(x) + \bar{u}(x) + d(x) + \bar{d}(x)] x dx \cong 1$$

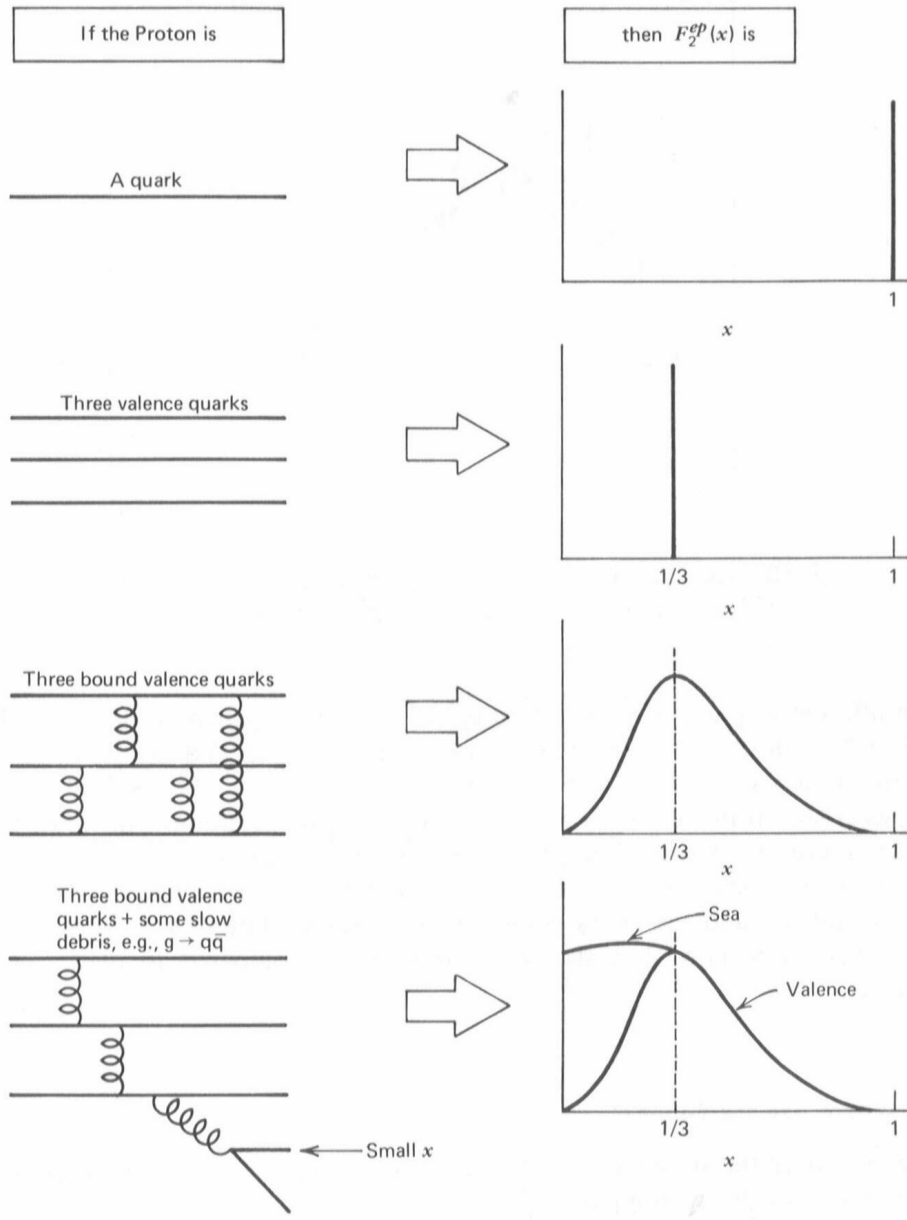
Eine experimentelle Bestimmung der Integrale lieferte jedoch als Ergebnis:

$$\frac{18}{5} \int F_2^{eN}(x) dx \cong \int F_2^{vN}(x) dx = 0.50 \pm 0.05$$

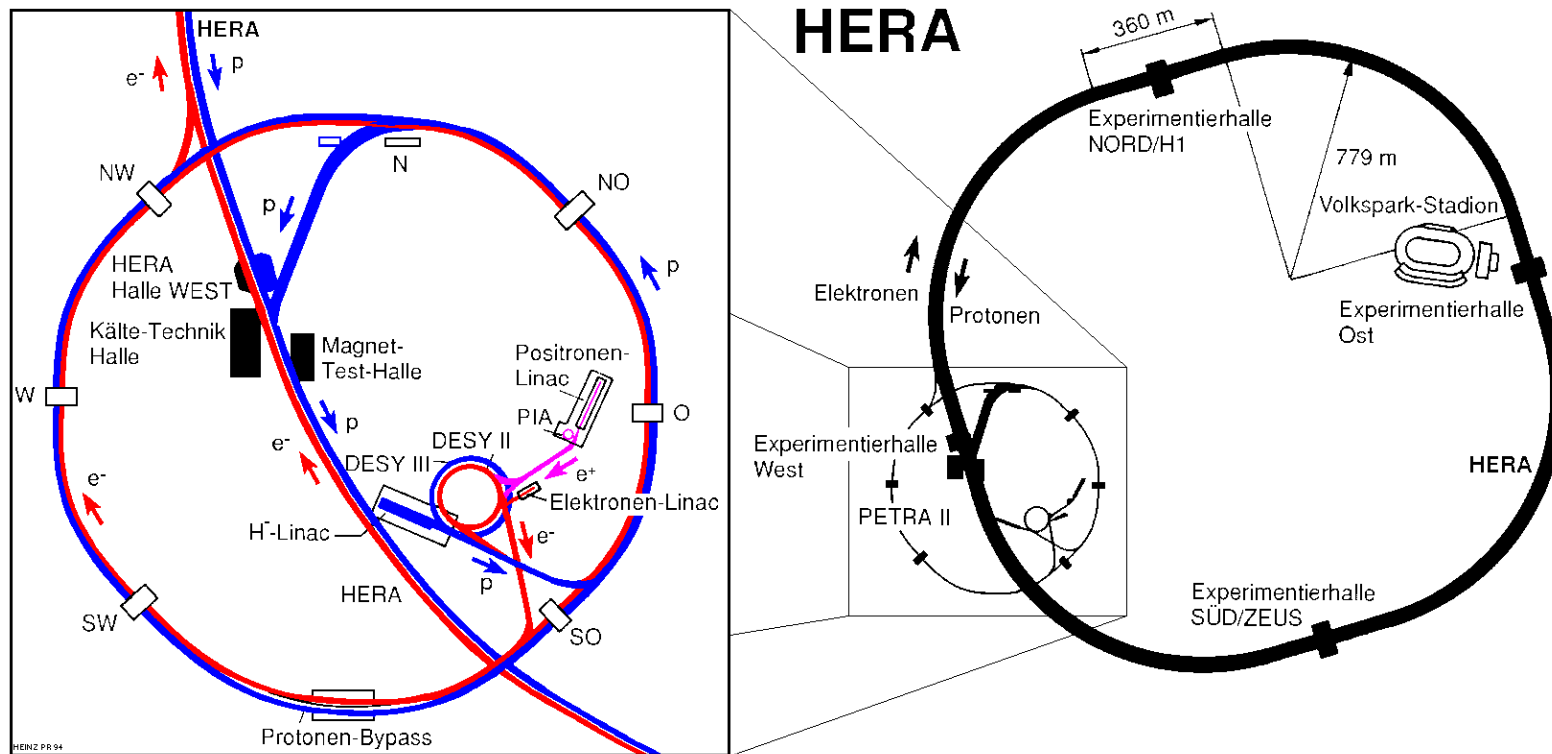
Die Partonen, die verantwortlich für die Streuung der Elektronen sind, tragen also nur ungefähr die Hälfte der Nukleonenmasse.

➡ Gluonen werden als weitere Konstituenten postuliert!

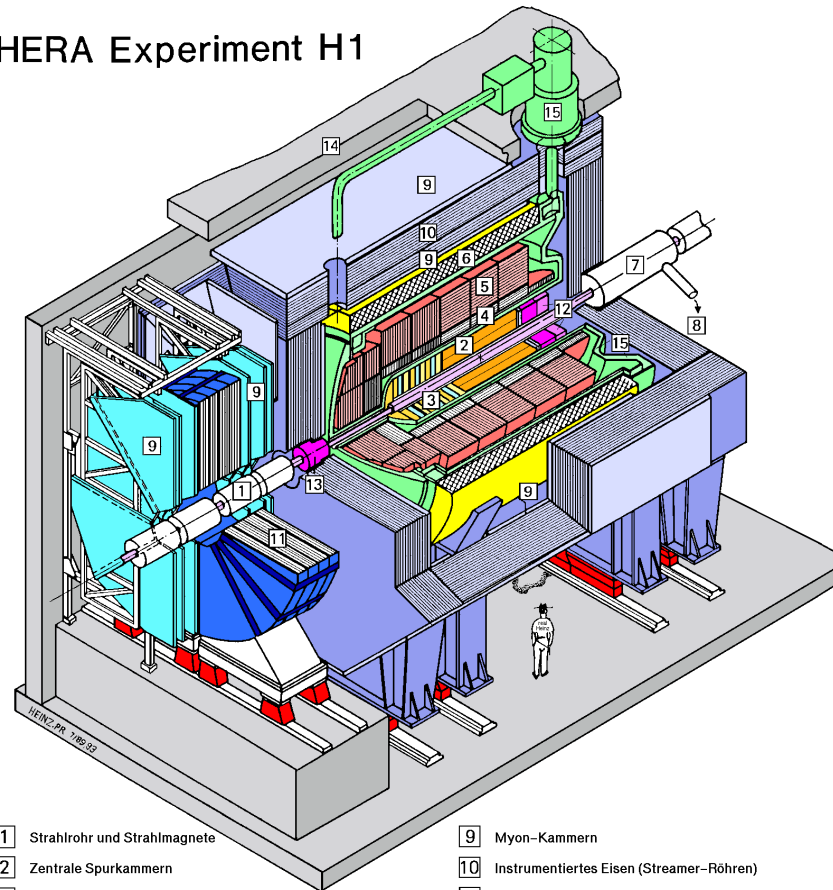
Wie sich die Strukturfunktion des Protons mit seinem Quarkinhalt verändert, wird in der folgenden Übersicht klar:



Experimente bei HERA



HERA Experiment H1



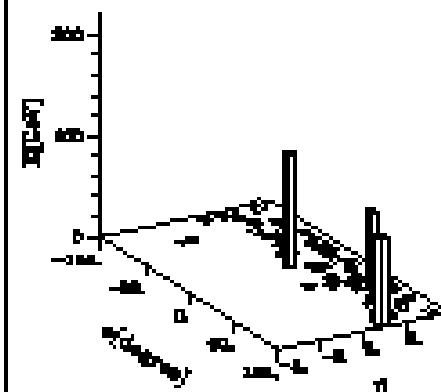
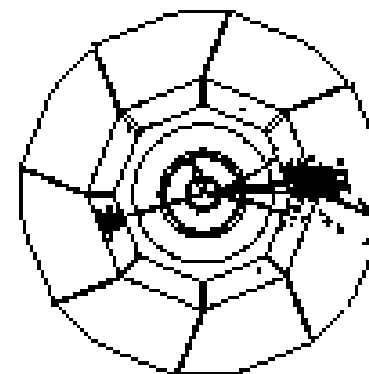
- | | | | |
|-----------------|---|----|--|
| 1 | Strahlrohr und Strahlmagnete | 9 | Myon-Kammern |
| 2 | Zentrale Spurkammern | 10 | Instrumentiertes Eisen (Streamer-Röhren) |
| 3 | Vorwärtspurkammern und Übergangstrahlungsmodule | 11 | Myon-Toroid-Magnet |
| 4 | Elektromagnetisches Kalorimeter (Blei) | 12 | warmes elektromagnetisches Kalorimeter |
| 5 | Hadronisches Kalorimeter (Edelstahl) | | |
| } Flüssig-Argon | | 13 | Vorwärts-Kalorimeter |
| 6 | Supraleitende Spule (1.2T) | 14 | Betonabschirmung |
| 7 | Kompensationsmagnet | 15 | Flüssig-Argon-Kryostat |
| 8 | Helium-Kälteanlage | | |



Run 59384 Event 25101

Run date 24/08/1993

$Q^2 = 10800 \text{ GeV}^2$ $x = 0.23$ $y = 0.54$



Skalenverletzung

